

พารามิเตอร์ที่มีอิทธิพลต่อตักษณะจำเพาะการก่อประชุของไนนエンอร์และผลของการก่อประชุ

ต่อฤทธิภาพของภาพอิเล็กทรอนิกส์ในกราฟ

นายวัฒน์ แซ่โล้ว



วิทยานิพนธ์นี้เป็นส่วนหนึ่งของการศึกษาด้านหลักสูตรปริญญาวิทยาศาสตรมหาบัณฑิต
สาขาวิชาเทคโนโลยีทางภาพ ภาควิชาวิทยาศาสตร์ทางภาพถ่ายและเทคโนโลยีทางการพิมพ์

บัณฑิตวิทยาลัย จุฬาลงกรณ์มหาวิทยาลัย

ปีการศึกษา 2542

ISBN 974-4332-744-4

ลิขสิทธิ์ของบัณฑิตวิทยาลัย จุฬาลงกรณ์มหาวิทยาลัย

**PARAMETERS THAT INFLUENCE TONER CHARGING CHARACTERISTICS
AND ELECTROPHOTOGRAPHIC PRINT QUALITY**

Mr. Wanlop Saelow

A Thesis Submitted in Partial Fulfillment of the Requirements

for the Degree of Master of Science in Imaging Technology

Department of Photographic Science and Printing Technology

Graduate School

Chulalongkorn University

Academic Year 1999

ISBN 974-4332-744-4

Copyright of Graduate school, Chulalongkorn University

Thesis Title **Parameters That Influence Toner Charging Characteristics
and Electrophotographic Print Quality**

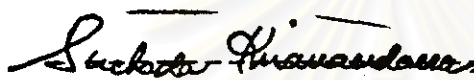
By **Mr. Wanlop Saelow**

Department **Photographic Science and Printing Technology**

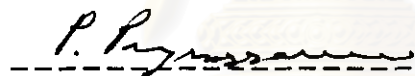
Thesis Advisor **Associate Professor Suda Kiatkamjornwong, Ph.D.**

Thesis Co-advisor **Professor Yasushi Hoshino, Ph.D.**

Accepted by the Graduate School, Chulalongkorn University in Partial
Fulfillment of the Requirements for the Master's Degree

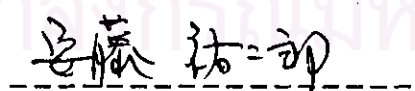
 - Dean of Graduate School
(Associate Professor Suchada Kiranandana, Ph.D.)

THESIS COMMITTEE

 - Chairman
(Associate Professor Pontawee Pungrassamee, M.S.)

 Thesis Advisor
(Associate Professor Suda Kiatkamjornwong, Ph.D.)

 Thesis Co-advisor
(Professor Yasushi Hoshino, Ph.D.)

 Member
(Mr. Yujiro Ando, M.S.)

 Member
(Associate Professor David Ruffolo, Ph.D.)

วัสดุ แซ่ดว : พารามิเตอร์ที่มีอิทธิพลต่อถักยังพะจำเพาะการก่อประจุของไนนเนอร์และผลของการก่อประจุต่ออุณหภูมิของภาชนะ (PARAMETERS THAT INFLUENCE TONER CHARGING CHARACTERISTICS AND ELECTROPHOTOGRAPHIC PRINT QUALITY) อ. ที่ปรึกษา : ดร. ดร. สุดา เกียรติกำจัดวงศ์, อ. ที่ปรึกษาร่วม : ศ. ดร. ชาญชัย ไชยวัฒน์ ; 123 หน้า. ISBN 974-4332-744-4.

ศัมภ์ตัวไทร ในอิสระกิจของสาธารณะภานุคิดถึงองค์ประกอบเป็นปัจจัยที่สำคัญในระบบอิสระกิจของไทย ให้การพิจารณาการก่อประชาราทว่างอนุภาคเป็นปัจจัยในการกำหนดปริมาณการใช้สารสร้างภายนอก และอุณหภูมิของภายนอกที่ วิทยานิพนธ์นี้ศึกษาสมบัติการเกิดประชาราทว่างอนุภาคในเนอร์ที่มีปฏิร่วงต่างกันสองชนิด และอนุภาคด้วยที่มีส่วนประกอบ และสมบัติทางไฟฟ้าต่างกันทั้งหมด ค่าประชาราทต่อมวลจาก การก่อประชาราทว่างอนุภาคในเนอร์ ซึ่งอยู่กับแรงที่ใช้ในการผสานสารสร้างภายนอกความเข้มข้นของอนุภาคในเนอร์ รูปร่างของอนุภาคในเนอร์ ชนิดของอนุภาคด้วย และสมบัติการนำไฟฟ้าบนพื้นผิวอนุภาคด้วย ภูมิภาระที่พัฒนาเป็นค่าความด้ามด้วย ค่าความค่าที่ 60 และ 40 เมอร์เซ็นต์ของค่าความด้ามด้วย ค่าความด้ามด้วย และความคงดั้นริเวษขององค์อักษร ค่าปริมาณการก่อประชาราทที่เป็นผลจากการเพิ่มอัตราเร็วที่ใช้ในการผสานสารสร้างภายนอก แต่ที่อัตราเร็วสูงอนุภาคในเนอร์เกิดการถูกต้องปรับ ค่าประชาราทต่อมวลเพิ่มขึ้นจนได้ค่าสูงสุด แล้วลดลงอย่างรวดเร็ว ผลตั้งกล่าวสามารถลดลงยังได้จากการดัดด้วยก้อนธุลทรรศน์อิสระกิจของกรอบแนวกรอบ เมื่อความเข้มข้นของอนุภาคในเนอร์เพิ่มขึ้น ค่าปริมาณการก่อประชาราทถูกดับลดลง เมื่อจากเกิดการปักกุนของอนุภาคในเนอร์บนพื้นผิวของอนุภาคด้วยมากรวบรวมที่ ทำให้ออนุภาคในเนอร์ที่อยู่ขึ้นตอกไม่สามารถเดินทางก่อประชาราได้ อุณหภูมิในเนอร์ที่มีอัตราเร็วที่ก่อประชาราทว่างกว่า จึงให้ค่าปริมาณการก่อประชาราทที่สูงกว่าอนุภาคในเนอร์ที่มีอัตราเร็วไม่แน่นอน ซึ่งเป็นผลให้ค่าความค่าที่ 60 และ 40 เมอร์เซ็นต์ของค่าความด้ามด้วยมีค่ามากกว่า และความคงดั้นริเวษขององค์อักษรนี้มีความคงดั้นในการก่อประชาราทที่สูงกว่า จึงให้ค่าปริมาณการก่อประชาราทที่สูงกว่าอนุภาคในเนอร์ที่มีอัตราเร็วไม่แน่นอน ซึ่งเป็นผลให้ค่าความค่าที่ 60 และ 40 เมอร์เซ็นต์ของค่าความด้ามด้วยมีค่ามากกว่า และความคงดั้นริเวษขององค์อักษรนี้มีความคงดั้นในการก่อประชาราทที่สูงกว่า จึงให้ค่าปริมาณการก่อประชาราทที่สูงกว่าอนุภาคด้วยที่มีส่วนประกอบเหลือเพียงชนิดเดียว เกิดการชนค์ของอนุภาคในเนอร์ที่แรงกว่า จึงให้ค่าประชาราทที่สูงกว่าอนุภาคด้วยที่มีส่วนประกอบด้วย ทองแดง สังกะสี และเหล็ก เมื่อสมบัติการนำไฟฟ้าบนพื้นผิวของอนุภาคด้วยมากรวบรวมที่ ความหนาของชั้นผิวดูดซึม เกิดการเสียดทานที่รุนแรงที่ให้ปริมาณการก่อประชาราทที่สูงขึ้น

วิทยานิพนธ์นี้จึงขับขยายความมีเดอร์หลักที่มีอิทธิพลต่อสังคมผะงาทางการก่อประดุจลงในเนอร์และผลกระทบของการก่อประดุจต่อศักยภาพของภาคพิมพ์.

วิทยาศาสตร์ทางการแพทย์และเทคโนโลยีทางการพิมพ์

ການວິຊາ

สาขาวิชา.....เทคโนโลยีทางการ

๒๕๔๒

ລາຍນີອ່ອນຕືດ ວົກວະ ແກ້ວມະວັດ
ລາຍນີອ່ອນຕາງຮູບທີ່ປີການ ສຸກ ເກມ/ໂຄວາມ
ລາຍນີອ່ອນຕາງຮູບທີ່ເກີກາງວ່ານ 溫野坦之

4072385623 : MAJOR IMAGING TECHNOLOGY

KEY WORD: TRIBOELECTRIC PROPERTIES / ELECTROPHOTOGRAPHIC SYSTEM / PRINT QUALITIES / TONER / CARRIER

WANLOP SAELOW : PARAMETERS THAT INFLUENCE TONER CHARGING CHARACTERISTICS
AND ELECTROPHOTOGRAPHIC PRINT QUALITY. THESIS ADVISOR : ASSOC. PROF.
SUDA KIATKAMJORNWONG, Ph.D. THESIS CO-ADVISOR : PROF. YASUSHI HOSHINO,
Ph.D. 123pp. ISBN 974-4332-744-4.

The triboelectric properties, q/m , of a two-component developer are important factors in an electrophotographic system. The toner charge is an important parameter that controls the developer mass and the print quality. This thesis investigated the charging properties of differently shaped toners, spherical-shaped and irregular-shaped toners, and carrier particles which are different in components and currents, i. e., a ferrite carrier and steel carriers produced with different currents (17, 31, 76, and 182 μA). The important parameters of toner charging are the mixing force, the toner concentration, the shape of toner, the carrier type, and the current of the carrier surface. The study of the print quality focused on the solid density, densities at 60 and 40% halftones, background density, and edge sharpness of the characters. The charge-to-mass ratio increased with increasing mixing force. At high speeds of mixing, the deformation of toner particles occurred. The q/m value increased to a maximum and then immediately decreased. This was confirmed by SEM photographs. When the toner concentration increased, the coverage of toner particles on the carrier surface increased to more than one layer. The outer toners could not be charged with the carrier, so the q/m value decreased. The spherically shaped toner was more efficiently tribocharged than the irregularly shaped toner. Therefore, the spherically shaped toner gave higher q/m values, which produced higher densities at 60 and 40% halftones. The edge sharpness of the characters from the spherically shaped toner was higher than those from the others. The solid densities of the different toners were close to each other. The carrier particles containing only Fe gave stronger contact with the toner than the carriers with Cu, Zn, and Fe. The current on the carrier surface influenced the q/m value; the higher the current, the greater the friction force between two surfaces leading to the high value of q/m . This thesis explains key parameters that affect the toner charging characteristics and their print qualities.

วิทยาศาสตร์ทางภาคตะวันตกในไทยทักษิณที่ ภาควิชา.....ทางไปทางมา

ถ่ายมือชื่อนี้เสียด้วย..... ที่นี่..... ที่นี่.....

សារុបិទា

ด้วยมิชชีร์อาจารย์ที่ปรึกษา Suda Littkumjornwong

ปี ๒๕๔๒

ลายมือชื่ออาจารย์ที่ปรึกษาร่วม..... ภูมิ ภูดี



ACKNOWLEDGEMENTS

The author would like to express his sincere gratitude to his advisor and co-advisor : Associate Professor Suda Kiatkamjornwong, Ph.D. and Professor Yasushi Hoshino, Ph.D., respectively, for their encouraging guidance, helpful suggestions and supervision throughout this research. Sincere appreciations are extended to his thesis committee : Associate Professor Pontawee Pungrassamee for serving as chairman, Mr. Yujiro Ando, and Associate Professor David Ruffolo, Ph.D. for serving as members of the thesis committee.

Many thanks are extended to Canon Inc. (Tokyo) for providing support necessary for the one-month training program in Japan including the grant to use their research facilities and materials for toner and carrier experiments. Appreciations are also extended to Mr. Hiroshi Suzuki for his help in training and in experimental research.

Appreciation and gratitude are extended to the Department of Imaging and Printing Technology, Faculty of Science, Chulalongkorn University, and Department of System Engineering, Nippon Institute of Technology, for providing research facilities.

Finally, the author would like to thank all of those who have given him suggestions and their supports throughout this research, especially, his family for their love, moral support and encouragement.

CONTENTS

	Page
ABSTRACT (IN THAI)	iv
ABSTRACT (IN ENGLISH)	v
ACKNOWLEDGEMENTS	vi
CONTENTS	vii
LIST OF TABLES	x
LIST OF FIGURES	xiv
CHAPTER	
1 INTRODUCTION	1
1.1 Scientific Rationale	1
1.2 Objectives	1
1.3 Scope of the Research	2
1.4 Content of the Thesis	2
2 THEORY AND LITERATURE REVIEW	4
2.1 Theoretical Considerations	4
2.1.1 History of Electrophotography	4
2.1.2 The Electrophotographic Process	4
2.1.3 Toner Components	5
2.1.3.1 Resin	5
2.1.3.2 Colorants	6
2.1.3.3 Charge Control Additives	6
2.1.3.4 Surface Additives	6
2.1.3.5 Other Additives	6
2.1.4 Two-component Development	6
2.1.4.1 Cascade Development	7
2.1.4.2 Magnetic Brush Development	8

CONTENTS (continued)

	Page
2.1.5 Toner Charging for Two-component Development Systems	8
2.2 Literature Review	14
3 EXPERIMENTAL	20
3.1 Materials	20
3.2 Apparatus	20
3.3 Procedure	21
3.3.1 Developer Preparation	21
3.3.2 Measurement of Charging Properties of the Rotating Roller Mechanism	21
3.3.2.1 Toner Charge Dependence on Toner Concentration (wt%)	21
3.3.2.2 Toner Charge Dependence on Mixing Force	22
3.3.2.3 Toner Charge Dependence on Surface Layer	22
3.3.3 Evaluation of Print Quality	23
3.3.3.1 Toner Charge-to-Mass Ratio (q/m) in a Real Machine	23
3.3.3.2 Printing Experiment	23
3.3.4 Morphology of Toners and Carriers	24
4 RESULTS AND DISCUSSION	25
4.1 Morphology of the Toner and the Carrier Particles	25
4.2 Toner Charge Dependence on the Mixing Force	25
4.3 Morphology of the Deformation of KT-16a Toner	39
4.4 Toner Charge Dependence on the Toner Concentration (wt%)	40

CONTENTS (continued)

	Page
4.5 Morphological Appearance of Material Surfaces	55
4.6 Toner Shape Dependency	55
4.7 Carrier Dependency	59
4.8 Toner Charge Dependence on the Surface Layer of Carrier	64
4.9 Q/m Values of the Toners Charged by the OKI Printer	66
4.10 Analysis of Print Quality	70
5 CONCLUSIONS AND SUGGESTIONS	88
REFERENCES	91
APPENDIX A The q/m Values of Various Developers Evaluated by a Blow Off Measurement Unit	94
APPENDIX B The q/m Values of Various Developers Evaluated by E-SPART Analyzer	107
APPENDIX C The q/m Values of Various Toners Evaluated by OKI Printer	113
APPENDIX D Measurement on Print Quality	115
VITA	123

LIST OF TABLES

Table	Page
3-1 Developers with different compositions and contents	21
3-2 Developers for measuring the toner charge dependence on mixing force	22
3-3 Developers for measuring the toner charge dependence on surface layer	23
4-1 The relationship of the rotating speed (rpm), the acceleration (m/s^2), and the mixing force (N)	28
4-2 The relationship of the toner concentration (wt%), the coverage (%), and number of the toner particles/carrier	44
4-3 Elemental analysis of the carriers	64
4-4 q/m values between the KT-16a toner and the N-O9S toner under the condition of the OKI printer	66
A-1 q/m values of developer, KT-16a and F-200, at 600 rpm. by MS1 Minishaker at 55 ± 3 %RH and $26\pm2^\circ C$	94
A-2 q/m values of developer, KT-16a and F-200, at 800 rpm. by MS1 Minishaker at 55 ± 3 %RH and $26\pm2^\circ C$	95
A-3 q/m values of developer, KT-16a and F-200, at 1000 rpm. by MS1 Minishaker at 55 ± 3 %RH and $26\pm2^\circ C$	96
A-4 q/m values of developer, KT-16a and F-200, at 400 rpm. by MS1 Minishaker at 55 ± 3 %RH and $26\pm2^\circ C$	97
A-5 q/m values of developer, KT-16a and F-200, at 1200 rpm. by MS1 Minishaker at 55 ± 3 %RH and $26\pm2^\circ C$	97
A-6 q/m values of developer, KT-16a and F-200, at 1400 rpm. by MS1 Minishaker at 55 ± 3 %RH and $26\pm2^\circ C$	97
A-7 q/m values of developer, KT-16a and TSV-200 ($17 \mu A$), at 600 rpm. by MS1 Minishaker at 55 ± 3 %RH and $26\pm2^\circ C$	98

LIST OF TABLES (continued)

Table	Page
A-8 q/m values of developer, KT-16a and TSV-200 (17 µA), at 800 rpm. by MS1 Minishaker at 55±3 %RH and 26±2°C	99
A-9 q/m values of developer, KT-16a and TSV-200 (17 µA), at 1000 rpm. by MS1 Minishaker at 55±3 %RH and 26±2°C	100
A-10 q/m values of developer, KT-16a and TSV-200 (17 µA), at 400 rpm. by MS1 Minishaker at 55±3 %RH and 26±2°C	101
A-11 q/m values of developer, KT-16a and TSV-200 (17 µA), at 1200 rpm. by MS1 Minishaker at 55±3 %RH and 26±2°C	101
A-12 q/m values of developer, KT-16a and TSV-200 (17 µA), at 1400 rpm. by MS1 Minishaker at 55±3 %RH and 26±2°C	101
A-13 q/m values of developer, N-O9S and TSV-200 (17 µA), at 400 rpm. by MS1 Minishaker at 55±3 %RH and 27±2°C	102
A-14 q/m values of developer, N-O9S and TSV-200 (17 µA), at 600 rpm. by MS1 Minishaker at 55±3 %RH and 27±2°C	102
A-15 q/m values of developer, N-O9S and TSV-200 (17 µA), at 800 rpm. by MS1 Minishaker at 55±3 %RH and 27±2°C	102
A-16 q/m values of developer, N-O9S and TSV-200 (17 µA), at 1000 rpm. by MS1 Minishaker at 55±3 %RH and 27±2°C	103
A-17 q/m values of developer, N-O9S and TSV-200 (17 µA), at 1200 rpm. by MS1 Minishaker at 55±3 %RH and 27±2°C	103
A-18 q/m values of developer, N-O9S and TSV-200 (17 µA), at 1400 rpm. by MS1 Minishaker at 55±3 %RH and 27±2°C	103
A-19 q/m values of developer, N-O9S and F-200, at 400 rpm. by MS1 Minishaker at 55±3 %RH and 27±2°C	104
A-20 q/m values of developer, N-O9S and F-200, at 600 rpm. by MS1 Minishaker at 55±3 %RH and 27±2°C	104

LIST OF TABLES (continued)

Table	Page
A-21 q/m values of developer, N-O9S and F-200, at 800 rpm. by MS1 Minishaker at 55 ± 3 %RH and $27\pm2^\circ\text{C}$	104
A-22 q/m values of developer, N-O9S and F-200, at 1000 rpm. by MS1 Minishaker at 55 ± 3 %RH and $27\pm2^\circ\text{C}$	105
A-23 q/m values of developer, N-O9S and F-200, at 1200 rpm. by MS1 Minishaker at 55 ± 3 %RH and $27\pm2^\circ\text{C}$	105
A-24 q/m values of developer, N-O9S and F-200, at 1400 rpm. by MS1 Minishaker at 55 ± 3 %RH and $27\pm2^\circ\text{C}$	105
A-25 q/m values of developer, KT-16a and TSV-200 (31 μA), at 600 rpm. by MS1 Minishaker at 55 ± 3 %RH and $27\pm2^\circ\text{C}$	106
A-26 q/m values of developer, KT-16a and TSV-200 (76 μA), at 600 rpm. by MS1 Minishaker at 55 ± 3 %RH and $27\pm2^\circ\text{C}$	106
A-27 q/m values of developer, KT-16a and TSV-200 (182 μA), at 600 rpm. by MS1 Minishaker at 55 ± 3 %RH and $27\pm2^\circ\text{C}$	106
B-1 Charge-to-mass ratio (q/m) of developers by E-SPART analyzer ..	107
C-1 q/m values of KT-16a toner in OKI 400 micro line CL Printer	113
C-2 q/m values of N-O9S toner in OKI 400 micro line CL Printer	114
D-1 The measurement of solid density for KT-16a toner by densitometer	115
D-2 The measurement of density at 60% halftone for KT-16a toner by densitometer	116
D-3 The measurement of density at 40% halftone for KT-16a toner by densitometer	117
D-4 The measurement of background density for KT-16a toner by densitometer	118
D-5 The measurement of solid density for N-O9S toner by densitometer	119

LIST OF TABLES (continued)

Table	Page
D-6 The measurement of density at 60% halftone for N-09S toner by densitometer	120
D-7 The measurement of density at 40% halftone for N-09S toner by densitometer	121
D-8 The measurement of background density for N-09S toner by densitometer	122

สถาบันวิทยบริการ
จุฬาลงกรณ์มหาวิทยาลัย

LIST OF FIGURES

Figure	Page
2-1 Schematic diagram of a cascade development system	7
2-2 Schematic diagram of a magnetic brush development system	8
2-3 The energy of metal-metal transition : (a) the energy of an electron for a metal and (b) two metals exchange charge to equilibrium	10
2-4 Surface states of metal-insulator contact charging : (a) the uncharged insulator, (b) the insulator contact with a metal, and (c) the increasing energy of the insulator state	11
2-5 Dependence of the potential energy of an ion on its positions between two plane parallel insulator surfaces	12
2-6 An apparatus used in the Blow off measurement	13
2-7 Schematic diagram of the E-SPART analyzer	13
4-1 Scanning electron micrographs of the toners : (a) KT-16a (x800), (b) KT-16a (x3000), (c) KT-16a (x13000), (d) N-O9S (x700), (e) N-O9S (x3000), and (f) N-O9S (x20000)	29
4-2 Scanning electron micrographs of the carriers : (a) TSV-200 (x95), (b) TSV-200 (x350), (c) TSV-200 (x2500), (d) F-200 (x100), (e) F-200 (x500), and (f) F-200 (x2500)	30
4-3 A model of rotating by the MS1 Minishaker : (a) glass cell (diameter of the glass cell, 24 mm), (b) before rotating, and (c) while rotating of the glass cell	27
4-4 Dependence of q/m on developing time for KT-16a and F-200 at different rpms	31
4-5 Dependence of q/m (max) on rotating speed, acceleration, and mixing force for KT-16a and F-200	32
4-6 Dependence of q/m on developing time for KT-16a and TSV-200 at different rpms	33

LIST OF FIGURES (continued)

Figure	Page
4-7 Dependence of q/m (max) on rotating speed, acceleration, and mixing force for KT-16a and TSV-200	34
4-8 Dependence of q/m on developing time for N-O9S and TSV-200 at different rpms	35
4-9 Dependence of q/m (max) on rotating speed, acceleration, and mixing force for N-O9S and TSV-200	36
4-10 Dependence of q/m on developing time for N-O9S and F-200 at different rpms	37
4-11 Dependence of q/m (max) on rotating speed, acceleration, and mixing force for N-O9S and F-200	38
4-12 Scanning electron micrographs of KT-16a toner : (a) before rotating, (b) rotating speed at 1200 rpm with TSV-200 carrier, and (c) rotating speed at 1400 rpm with F-200 carrier	39
4-13 A model of the coverage of toner on carrier surface	42
4-14 Dependence of q/m on developing time for KT-16a and F-200 at 600 rpm	45
4-15 Dependence of q/m on developing time for KT-16a and F-200 at 800 rpm	46
4-16 Dependence of q/m on developing time for KT-16a and F-200 at 1000 rpm	47
4-17 Dependence of q/m on developing time for KT-16a and TSV-200 at 600 rpm	48
4-18 Dependence of q/m on developing time for KT-16a and TSV-200 at 800 rpm	49
4-19 Dependence of q/m on developing time for KT-16a and TSV-200 at 1000 rpm	50
4-20 Dependence of q/m (max) on toner concentration for KT-16a and F-200	51

LIST OF FIGURES (continued)

Figure	Page
4-21 Dependence of m/q (max) on toner concentration for KT-16a and F-200	52
4-22 Dependence of q/m (max) on toner concentration for KT-16a and TSV-200	53
4-23 Dependence of m/q (max) on toner concentration for KT-16a and TSV-200	54
4-24 Scanning electron micrographs of the developers, KT-16a toner and F-200 carrier, with various toner concentrations of 1, 2, 3, 5, 7, and 10 wt%	56
4-25 Dependence of q/m on developing time for KT-16a and N-O9S with the same TSV-200	57
4-26 Dependence of q/m on developing time for KT-16a and N-O9S with the same F-200	58
4-27 Dependence of q/m on developing time for KT-16a toner with F-200 and TSV-200	60
4-28 Dependence of q/m on developing time for N-O9S toner with TSV-200 and F-200	61
4-29 Elemental analysis of F-200 carrier	62
4-30 Elemental analysis of TSV-200 carrier	63
4-31 Dependence of q/m on developing time for KT-16a with different currents of TSV-200	65
4-32 A model of toner transferring by electric force	67
4-33 Test form	69
4-34 Dependence of maximum density on copy number for N-O9S and KT-16a toners	71
4-35 Dependence of density at 60% halftone on copy number for N-O9S and KT-16a toners	72

LIST OF FIGURES (continued)

Figure	Page
4-36 Dependence of density at 40% halftone on copy number for N-O9S and KT-16a toners	73
4-37 Dependence of background density on copy number for N-O9S and KT-16a toners	74
4-38 The photos of the lines (left side) by the image analyzer : (a) KT-16a toner and (b) N-O9S toner, (x400)	75
4-39 The photos of the lines (center) by the image analyzer : (a) KT-16a toner and (b) N-O9S toner, (x400)	76
4-40 The photos of the lines (right side) by the image analyzer : (a) KT-16a toner and (b) N-O9S toner, (x400)	77
4-41 The photos of the "a" character by the image analyzer : (a) KT-16a toner and (b) N-O9S toner, (x20)	78
4-42 The photos of the "f" character by the image analyzer : (a) KT-16a toner and (b) N-O9S toner, (x20)	79
4-43 The photos of the "g" character by the image analyzer : (a) KT-16a toner and (b) N-O9S toner, (x20)	80
4-44 The photos of the "B" character by the image analyzer : (a) KT-16a toner and (b) N-O9S toner, (x15)	81
4-45 The photos of the "C" character by the image analyzer : (a) KT-16a toner and (b) N-O9S toner, (x15)	82
4-46 The photos of the "E" character by the image analyzer : (a) KT-16a toner and (b) N-O9S toner, (x15)	83
4-47 The photos of the "1" character by the image analyzer : (a) KT-16a toner and (b) N-O9S toner, (x20)	84
4-48 The photos of the "2" character by the image analyzer : (a) KT-16a toner and (b) N-O9S toner, (x20)	85
4-49 The photos of the "3" character by the image analyzer : (a) KT-16a toner and (b) N-O9S toner, (x20)	86